

**ИССЛЕДОВАНИЕ ПЕРЕЗАРЯДКИ He^+ , Ne^+ , Ar^+
НА БЕЙТЛЕРОВСКИЕ СОСТОЯНИЯ ИОНОВ КАДМИЯ И ЦИНКА
ПРИ МАЛЫХ ЭНЕРГИЯХ**

М.-Т.И. Соскида, В.С. Шевера

Экспериментально исследована перезарядка He^+ , Ne^+ , Ar^+ на внутренние возбужденные состояния $4d^9 5s^2 {}^2D_{3/2, 5/2}$. CdII и $3d^9 4s^2 {}^2D_{3/2}$. ZnII в интервале энергий 2 – 400 эВ. Установлено, что взаимодействующие пары частиц при значительных энергетических дефектах ~ 7 эВ характеризуются высокой эффективностью передачи энергии ($\sim 10^{-16} \text{ см}^2$) и имеют качественно различный характер поведения сечений перезарядки в области малых энергий. Путем расчета показано, что перезарядка дает заметный вклад в заселенность верхних лазерных уровней для $\lambda = 4415\text{\AA}$ He – Cd и $\lambda = 5894\text{\AA}$ He – Zn ОКГ.

Исследование процессов перезарядки в области малых энергий представляет интерес для теории столкновений и имеет практическое значение для физики лазерной плазмы. На плацах металлов в смеси с инертными газами работает большое количество лазеров. Для многих из них образование инверсной заселенности происходит посредством процесса перезарядки ионов благородных газов при малых энергиях и реакции Пеннинга [1 – 4].

В данной работе впервые исследована перезарядка ионов гелия, неона и аргона на внутренние, так называемые бейтлеровские состояния Cd II и Zn II. Измерения проводились пучковой методикой на установке, описанной в работе [5]. Ионы инертных газов вытягивались из плазмотронного источника и селектировались цилиндрическим конденсатором, атомы мишени Cd и Zn получались в паронаполненной ячейке.

Основные каналы возбуждения при перезарядке представляются схемой



где A^+ – He^+ ; Ne^+ , Ar^+ , B – Zn, Cd.

Реакция по каналу (1) для He^+ , Ne^+ + Zn, Cd при $+ \Delta E_1$ является перезарядкой экзотермического типа и для Ar^+ + Zn, Cd при $- \Delta E_2$ – эндо-термического типа; реакция (2) характеризует ударную ионизацию с возбуждением. Значения энергетических дефектов ΔE в лабораторной системе координат для бейтлеровских состояний при возбуждении ионами He^+ , Ne^+ и Ar^+ приведены в таблице.

$\lambda, \text{\AA}$	переход	$\Delta E_1, \text{ эв}$			$\Delta E_2, \text{ эв}$		
		He^+	Ne^+	Ar^+	He^+	Ne^+	Ar^+
4415	$4d^9 5s^2 \quad ^2D_{5/2} \rightarrow 5p \quad ^2P_{3/2}^o \text{ Cd II}$	+7,2	+4,7	-2,5	-18,2	-20,7	-23,8
3250	$4d^9 5s^2 \quad ^2D_{3/2} \rightarrow 5p \quad ^2P_{1/2}^o \text{ Cd II}$	+6,5	+3,9	-3,4	-18,9	-21,5	-24,8
5894	$3d^9 4s^2 \quad ^2D_{3/2} \rightarrow 4p \quad ^2P_{1/2}^o \text{ Zn II}$	+7,5	+5,3	-2,8	-18,6	-22,9	-28,2

На рисунке представлены основные экспериментальные результаты по сечениям перезарядки медленных однозарядных ионов гелия, неона и аргона на атомах кадмия и цинка с возбуждением байтлеровских состояний $4d^9 5s^2 \quad ^2D_{3/2, 5/2} \text{ Cd II}$ и $3d^9 4s^2 \quad ^2D_{3/2} \text{ Zn II}$. Абсолютные значения сечений перезарядки определялись непосредственно в данном эксперименте по электронному возбуждению [5]. Погрешность абсолютной калибровки $\pm 20\%$, ошибки относительных измерений – 3% .

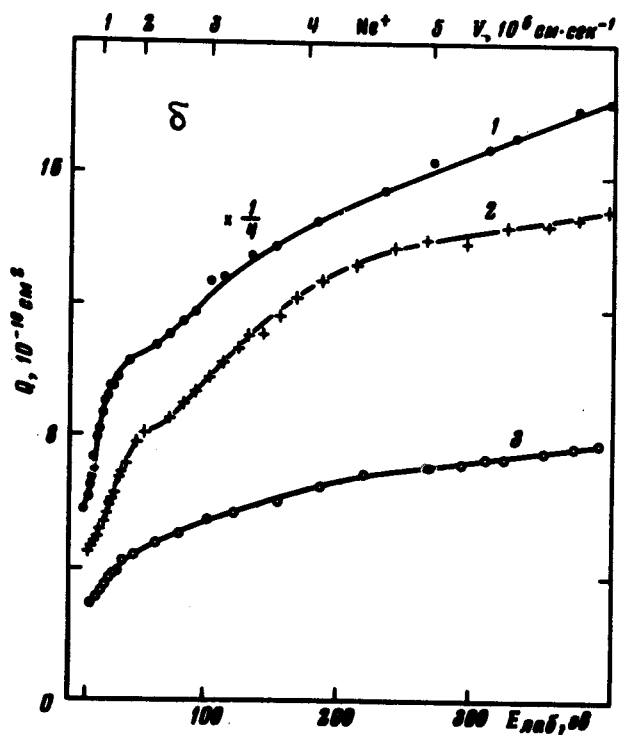
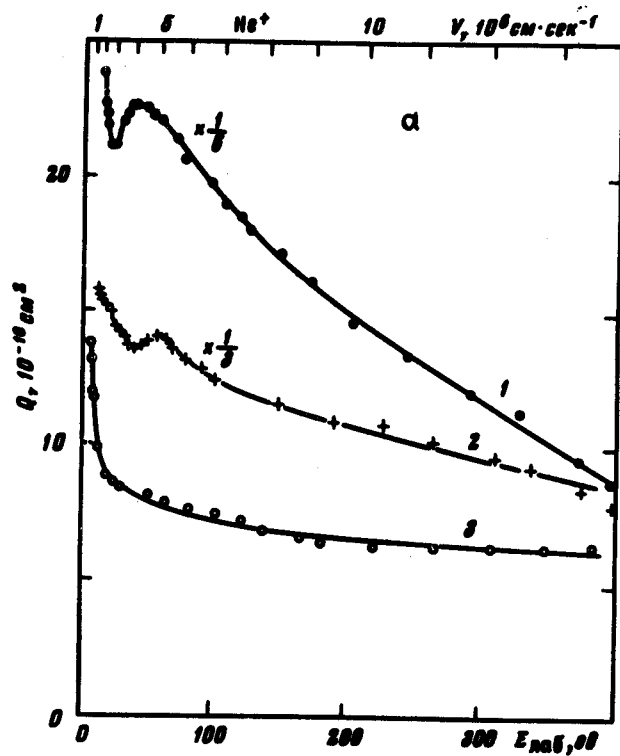
Экзотермическая перезарядка для пары $\text{He}^+ + \text{Cd}$ (рис. *а* кривые 1,2) характеризуется высокой эффективностью $\sim 10^{-16} \text{ см}^2$ у порога, несколько меньшей $\sim 10^{-17} \text{ см}^2$ для $\text{He}^+ + \text{Zn}$ (кривая 3); для обеих пар сечение растут в область малых энергий. Перезарядка $\text{Ne}^+ + \text{Zn}, \text{ Cd}$ (рис. *б*), хотя и является также экзотермической, по характеру поведения принципиально отличается от пары $\text{He}^+ + \text{Zn}, \text{ Cd}$, при этом основное различие проявляется как в припороговом ходе, так и в области больших энергий.

Таким образом для экзотермической перезарядки в области малых энергий характер поведения сечений существенно определяется свойствами взаимодействующих частиц.

Перезарядка для эндотермической реакции $\text{Ar}^+ + \text{Zn}, \text{ Cd}$ (рис. *в*) по поведению отличается от экзотермической. Ход кривых на рис. *в* в области 2 – 150 эв может быть объяснен обменным взаимодействием, т. е. чистой перезарядкой (реакция 1), а последующий рост с 200 эв, очевидно, связан с включением реакции 2. Сравнение эффективности перезарядки в припороговой области для кадмия (кривые 1, 2) указывает на то, что для обменного взаимодействия очень важную роль играет экранировка, вследствие чего *d*-электрон Cd слабее связан с ядром и легче может происходить обмен.

Наблюдаемое экспериментально поведение сечений перезарядки на байтлеровские уровни Zn II и Cd II не описывается известными теоретическими формулами выведенными для обычных ионных состояний Zn и Cd [6].

В целом анализ показывает, что процесс перезарядки с возбуждением внутренних электронных состояний Zn II и Cd II ионами $\text{He}^+, \text{ Ne}^+$ и Ar^+ характеризуется очень разнообразным поведением сечений перезарядки и не является столь селективным как считалось ранее [7 – 10]. Это ставит вопросы, в частности, о теоретическом описании припорогового поведения сечений перезарядки и более полном раскрытии механизма обменного взаимодействия.



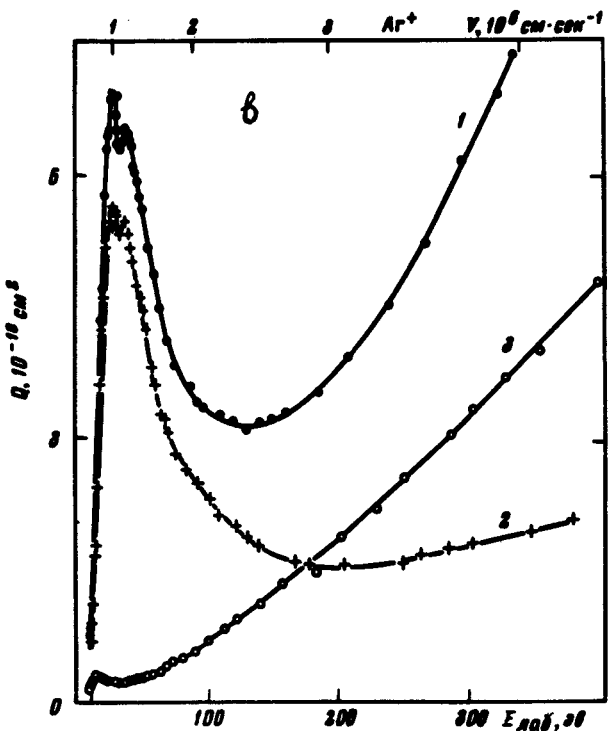


Рис. 1. Сечения перезарядки He^+ (а), Ne^+ (б) и Ar^+ (в) на атомах Cd и Zn с возбуждением бейтлеровских линий: 1 — 4415 Å CdII, 2 — 3250 Å CdII, 3 — 5894 Å ZnII

Полученные в настоящей работе экспериментальные данные использовались для определения роли перезарядки в He — Cd и He — Zn ОКГ. На основании кинетических уравнений произведены расчеты, которые дают примерно 10% вклада перезарядки в заселенность верхних лазерных уровней для линий 4415 Å He — Cd и 5894 Å He — Zn ОКГ. Это позволяет считать перезарядку конкурирующим процессом наравне с электронным возбуждением и пеннинг-реакцией в ОКГ.

Авторы благодарят И.П.Запесочного за постоянный интерес к работе.

Ужгородский
государственный университет

Поступила в редакцию
14 октября 1975 г.

Литература

- [1] G.J.Collins, R.C.Jensen, W.R.Bennett. Appl. Phys. Lett., 19, 5, 125, 1971.
- [2] A.J.Palmer, J.W.McGowan. J. Appl. Phys., 43, 10, 4084, 1972.
- [3] В.С.Алейников, В.В.Ушаков. Оптика и спектроскопия, 33, 214, 1972.
- [4] Е.Л.Латуш, В.С.Михалевский, М.Ф.Сэм. Оптика и спектроскопия, 34, 214, 1973.

- [5] М.-Т.И.Соскида, В.С.Шевера. УФЖ, 18, 1394, 1974.
- [6] В.И.Былкин. Оптика и спектроскопия, 29, 1036, 1970.
- [7] J.M.Green, C.E.Webb. J. Phys. B: Atom. Molec. Phys., 7, 13, 1698, 1974.
- [8] A.R.Turner-Smith, J.M.Green, C.E.Webb. J. Phys. B: Atom. Molec. Phys., 6,
1, 114, 1973.
- [9] C.F.Melius. J. Phys. B: Atom. Molec. Phys., 7; 3, 1692, 1974.
- [10] И.П.Богданова, В.Д.Марусин, В.Е.Яхонтова. Оптика и спектроско-
пия, 37, 4, 643, 1974.
-